

Pu-U-C

(Карбонат U_xPu_{1-x})

U_xPu_yC_x^z Ogard A.E. и др. 1962

J. Inorg. and Nucl. Chem.,
24, N 1, 29-34

Получение твердых р-ров
миксокарбида урана и
миксокарбида неупористое,
сесквикарбида неупористое
и миксокарбида неупористое.

(All. PuCx) I

UPuCx Brett N.H., Harper E.A. et al. 1964

The Substitutional Solubility of
oxygen in $U_{0.85}Pu_{0.15}C - C$ -Carbides

in Nuclear Energy. London, MacMillan Co.

Xiang Ltd, 1964, p. 162

U_xPu_yC_z 1964

P

C.A. 1965

62.12

141296cd

Properties of solid solution uranium-plutonium carbide. D. Stahl and A. Strasser (United Nucl. Corp., White Plains, N.Y.). *Carbides Nucl. Energy, Proc. Symp. Harwell, Engl.* 1963, 373-91 (Pub. 1964). The following properties of $(U_{0.8}Pu_{0.2})$ -C and $(U_{0.95}Pu_{0.05})$ -C were measured on material prep'd. by carbothermic redn. of the oxide; in addn. to oxide contamination a varying amt. of higher carbide was also present. The presence of dicarbide indicated that the decomprn. temp. of $(U,Pu)_2C_3$ was below the sintering temp. of 1925° . Samples with 0.1% Ni showed this to be in soln. in the carbide; tests indicated that Ni was sol. in UC up to 1.5 wt. % at 816° . $(U_{0.8}Pu_{0.2})C_{0.95}$ melts at 2480° with a solidus estd. at 2430° ; $(U_{0.95}Pu_{0.05})C_{0.95}$ melts at 2500° . From 20 to 1400° arc-cast UC and all (U,Pu) -C samples gave the same coeff. of expansion within exptl. error; sintered UC gave values about 10% smaller. The vapor pressure was detd. of $(U_{0.8}Pu_{0.2})C_{0.95}$ at 2100 - $600^\circ K$; there was evidence of U and Pu species. The in-pile thermal condns. of $(U_{0.8}Pu_{0.2})C_{0.95}$ and $(U_{0.8}Pu_{0.2})C_{0.95} + 0.1\%$ Ni were 0.029 - 0.059 cal./sec. $cm.^2$ C./cm. at 700 - 1010° . Tests at 593 and 816° for 1000 - 4000 hrs. showed no significant reaction between (U,Pu) -C and type 316 stainless steel, 2.25 Cr-1% Mo steel, Nb, and V; slight reaction occurred with Nb-1% Zr at 816° while more significant reactions were noted with Inconel-X and Zircaloy-2. J. W. Taylor

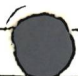
$(U_{1-x} Pu_x)_2 C_3$ Pickles S.

1967

$(U, P) O_2$

Chem. Engng. Prepr. Sympos.
Ser., 63, N80, 64

Равновесное давление и
кофакторные скорости гид-
карбометаллического восста-
новления $(U, Pu) O_2$ и PuO_2 .



$(U, PuO_2) I$

1972

Potter P.E.

„Тройные системы $U-C-O$ и $Pu-C-O$
и четвертичные системы $U-Pu-C-O$ “

J. Nucl. Mater., 1972, 42, N1, p. 1 - ...

[6]

U-Pu-W-C

1973

Ugajin M., Takahashi I. et all.

Theory. Estimations for the system

U-Pu-W-C

[34]

J. Nucl. Mater., 1973, 49, N2, p. 151-160

60309.8734
Ch, TC

44336GR

1975

(U_{0.8}Pu_{0.2})C

* 4-11821

K p. N 60309.8701

Sheeth A., Totenbaum M., Leibowitz L.

Vapor pressures of UC and (U_{0.3}Pu_{0.2})C at

extremely high temperatures.

"Trans. Amer. Nucl. Soc.", 1975, 22, 233-234

(англ.)

0578 ГИК

ВИНИТИ

551 551

$(U_{0,80}Pu_{0,20})C_{1+x}$

1976

24 Б856. Поведение карбидов урана-плутония при испарении. Ohse R. W., Capone F. Evaporation behaviour of the ternary uranium plutonium carbides. «Plutonium 1975 and other Actinides. Proc. 5th Int. Conf., Baden Baden, 1975». Amsterdam e. a., 1976, 245—254. Discuss., 255 (англ.)

(K_P)

Эффузионным методом Кнудсена в сочетании с масс-спектрометрическими определениями, использующими изотоп U-233, изучено испарение $(U_{0,80}Pu_{0,20})C_{1+x}$ в области т-р от 1500° до т-ры ликвидуса 2458° и соотношений С/М от 0,95 до 1,4. Спец. опытами исследовано влияние примесей кислорода и азота на давл. испарения. Несколько серий экспериментов проведено для выбора оптим. параметров геометрии образца, величины эффузионного отверстия и скорости нагрева, предотвращающих неравномерное испарение и изменение

Х. 1974 № 24

ние поверхн. состава образца, что зависит от соотношения скоростей диффузии в тв. фазе, испарения в камере и истечения. Из изотермич. зависимостей давл. пара P_{Ru} от отношения C/M определена граница между однофазной областью MC и двухфазной $\text{MC} + \text{M}_2\text{C}_3$. Тр-ные зависимости давл. пара P_{Ru} описаны ур-ниями вида $\lg P_{\text{Ru, atm}} = A - B/T$. Значения коэф. A , B и $\Delta H_{\text{субл.}}(\text{Ru})$,

ккал/моль, составили соотв.: однофазная область $C/M = 1,014; 4,28; 18\ 700$ и $85,6$, $C/M = 1,05; 4,87; 20\ 400$ и $93,4$, $C/M = 1,10; 5,41; 22\ 100$ и $101,1$, $C/M = 1,15; 5,66$, $22\ 600$ и $103,4$; двухфазная область $C/M = 1,15; 4,32; 20\ 000$ и $91,5$, $C/M = 1,21; 5,05; 21\ 400$ и $97,9$; $C/M = 1,30; 5,96; 23\ 800$ и $108,9$. Выше 2200° изотермич. давл. пара для $C/M > 1,15$ не зависит от состава, что в соответствии с правилом фаз отвечает существованию трехфазной области $\text{MC} + \text{M}_2\text{C}_3 + \text{MC}_2$, к-рая разделяется на три двухфазные $\text{MC} + \text{M}_2\text{C}_3$, $\text{MC} + \text{MC}_2$ и $\text{M}_2\text{C}_3 + \text{MC}_2$.

А. Кисилевский

$U_{0.8}Pu_{0.2}C$

1976

87: 73478t Evaporation behavior of the ternary uranium plutonium carbides. Ohse, R. W.; Capone, F. (Eur. Inst. Transuranium Elem., EURATOM, Karlsruhe, Ger.). *Reaktortec.* [Fachvortr.] 1976, 526-9 (Eng). Dtsch. Atomforum E. V.: Bonn, Ger. Evapn. behavior was studied of UC-PuC system by using a combined technique of effusion target collection and mass spectrometry which allows simultaneous measurements of partial and total pressure. No congruently vaporizing compn. exists in the ternary $U_{0.8}Pu_{0.2}C$ system. The vapor phase is always richer in Pu compared to the solid phase. The effect of O impurities was studied. The liquidus and solidus temps. of $U_{0.8}Pu_{0.2}C$ are 2458° and 2419° , resp. The log P vs. $1/T$ and the heats of sublimation were detd.

($T_{tr}, P, \Delta H_s$)

C.A. 1977 87 n10

U-Pu-C-N

1976

Potter P. E.

gazoball Proc. 5th Int.
convention. Conf. Baden Baden
1975, Amsterdam,
1976, 211-232

(see. U-C-N; I)

U-Pu-W-C

1976

84: 112382s Phase equilibria in system uranium-plutonium-tungsten-carbon. Ugajin, Mitsuhiro; Abe, Jiro; Suzuki, Yasufumi; Takahashi, Ichiro; Kurihara, Masayoshi (Japan) Energy Res. Inst., Tokai, Japan). *J. Nucl. Sci. Technol.* 13(1), 36-9 (Eng). The U-Pu W-C system was studied at 1300° and 2100° by microscopy and x-ray methods using samples contg. $(\text{U}_{0.8}\text{Pu}_{0.2})$ 34-50, W 10, C 40-56 at.% to simulate fast breeder reactor fuel behavior. Peritectic decomprn. is observed at the $(\text{U}_{0.15}\text{Pu}_{0.85})\text{C}$ -W tie line at $2100 \pm 40^\circ$: $(\text{U},\text{Pu})\text{C} + \text{W} \rightarrow (\text{U},\text{Pu})\text{WC}_{17.5} + \text{liq.}$ Due to the sluggish nature of this eq., high-temp. phases can be obtained in a metastable condition at room temp. Eutectic and peritectic temps. for $(\text{U},\text{Pu})\text{C} + \text{A}$ nuclear materials (W, Mo, Re, Fe, Cr, and alloys) are summarized.

graph
graph.

C.A. 1976-84 n16

U-Pu-W-C

1976

(gasobol fabrobolice)

87: 124204k Phase equilibrium study on system uranium-plutonium-tungsten-carbon. Ugajin, Mitsuhiro (Div. Fuel Res., JAERI, Tokai, Japan). *Nippon Genshiryoku Kenkyusho, Kikai JAERI-Memo* 1976, JAERI-M-6804, 100 pp. (Eng). The metallurgical properties of the U-Pu-W-C system were studied with emphasis on phases and reactions. The free energy of compd. formation, C activity and U/Pu segregation in the W-doped carbide fuel are estd. by using the phase diagram data. The results indicate that W metal is useful as a thermochem. stabilizer of the carbide fuel. The W has high temp. stability in contact with U carbide and mixed U-Pu carbide.

16f

C.A. 1974. 87 n 16

μ_{PuCx}

XVII - 1829

[1977]

Fischer D.E., Leibowitz

Enthalpy of U-Pu-Carbide from
 $H(T) - H_{298K}$ to the Melting Point.

[25]

J. Nucl. Mater., 1977, 67, p. 244

(U_{0.8}Pu_{0.2})C XVIII-1829 | 1977

ΔH

87: 124206n Enthalpy of uranium-plutonium carbide from
298 K to the melting point. Fischer, D. F.; Leibowitz, L.
(Chem. Eng. Div., Argonne Natl. Lab., Argonne, Ill.). *J. Nucl.
Mater.* 1977, 67(3), 244-8 (Eng). An induction-heated
drop-calorimetric system was used to measure the enthalpy of
(U_{0.8}Pu_{0.2})C from 1039-2421 K. The exptl. data was fitted to a
cubic function. The agreement was good for these data,
1039-900 K, with estd. enthalpies published for 298-1900 K. A
4th degree function was fitted to the range 298-2548 K. A table
of thermodyn. functions is given for the complete range.

J. D. Hepworth

C. A. 1977. 87 n 16

$(U_{0.8}Pu_{0.2})C$ BK-XVIII - 1829

1977

Fischer D.F., Leibowitz L,

$T_m = 2548K$ Энталпия $U-Pu$ -карбина от 298 до T_m

$$C_p = 49.62 \text{ J mol}^{-1} \text{ K}^{-1}$$

$$C_p = 32.5925 + 2 \times 37.2021 \cdot 10^3 T - 3 \times 20.8151 \cdot 10^6 T^2 + 4 \times 43.8487 \cdot 10^{-10} T^3$$



$U_{0,8}P_{0,2}C$

XVIII-1829

1974

24 Б811. Энталпия карбида урана-плутония от 298 К до точки плавления. Fischer D. F., Leibowitz L. Enthalpy of uranium-plutonium carbide from 298 K to the melting point. «J. Nucl. Mater.», 1977, 67, № 3, 244—248 (англ.; рез. франц., нем.)

В калориметре смешения с индукц. нагревом образца измерена энталпия $U_{0,8}P_{0,2}C$ (I) в интервале 1039—2421 К. Результаты аппроксимированы ур-нием $H_T - H_{298}$ (дж/моль) = $-48,3832 \cdot 10^3 + 121,652T - 42,9571 \cdot 10^{-3}T^2 + 10,2309 \cdot 10^{-6}T^3$ (± 663) и хорошо согласуются с оценочными лит. данными для интервала 298—1900 К, с использованием к-рых для интервала 298—2548 К (т. пл.) получено $H_T - H_{298}$ (дж/моль) = $= 12,4866 \cdot 10^3 + 32,5225 T + 37,2021 \cdot 10^{-3} T^2 - 20,8151 \cdot 10^{-6} T^3 + 43,8487 \cdot 10^{-10} T^4$ с оценочной погрешностью ± 701 дж/моль. Для интервала 300—2500 К рассчитаны и табулированы с шагом 100° термодинамич. ф-ции I.

А. Кисилевский

$\Delta H, T_m$

минус¹

Х. 1974 № 24

11-Pii-C Gheth A; 1977
Leibowitz L.

From "ERDA Energy Rec.
(G;SH,P) Abstr." 1977, 217), Abstr. no
17804.



(ccr. UC) I

1980

U-Pu

UC-UN

разобас
гварф.

(+) 8

C.A. 1981
95, N 6.

95: 51373t Thermodynamic calculation of the phase diagram of the uranium carbide (UC)-uranium nitride (UN) system. Udovskii, A. L.; Ivanov, O. S. (M. M. Baikov Inst. Metall., Moscow, USSR). *Thermodyn. Nucl. Mater., Proc. Int. Symp.* 1979 (Pub. 1980). 2, 229-46 (Russ). IAEA: Vienna, Austria. A new version is given of the phase diagram for the UC-UN section obtained by thermodn. calcn. using the regular-soln. approxn. and taking into consideration the max. m.p. and the enthalpy of mixing of exptl. obtained U carbonitride solid solns. The results of the calcn. agree satisfactorily with exptl. data on the m.p. of U carbonitrides. More particularly, the calcd. alloy compn. corresponding to the max. m.p. is 0.6905, which is in good agreement with the exptl. value of $x_m = 0.7$. The anal. of the exptl. concn. relation between the adiabatic modulus of elasticity, shear modulus and Debye temp. of the U carbonitride solid solns. indicates, in accordance with the Lindemann relation, the existence of a max. m.p. in the region of compns. with $x = 0.75-0.80$ M fractions of UN. A method is also described of calcg. the thermodn. parameters using a regular-soln. model from exptl. phase diagrams for 2-component systems. This method is applicable to the bcc. solid-liq. system phase equil. in the U-Pu system.

U-Pu-C-N

1982

20 Б825. Анализ фазовых равновесий системы U—Pu—C—N в интервале 1400—1750° С. Удовский А. Л., Алексеева З. М. «Докл. АН СССР», 1982, 264, № 3, 647—651

Построено 6 изотермич. сечений системы U—Pu—C—N при 1400, 1640, 1655, 1660, 1725 и 1747° С (в усеченном плоскостью составов тетраэдра C—PuN—UN). Анализ построенных изотермич. сечений показал взаимную согласованность построенных независимо трехкомпонентных систем U—Pu—C, Pu—C—N и U—C—N. Сделан вывод, полезный для практики: в выявленном двухфазном объеме данной диаграммы монокарбонитридное уран-плутониевое топливо находится в фазовом равновесии с графитом, что обеспечивает их хим. совместимость в начальный период работы реактора.

Л. Г. Титов

фазовое
равновесие

X. 1982, 19, № 20

Liebherr | Dm. 22015 | 1984
U-C-Fc

Pu Boersma - Klein W.,
Kelling F., Kistemaker J.,
pacrem High Temp. Sci., 1984,
coemata, 18, N3, 131-158.
mesmog.
CB-fa
Koelenhoek
M88

(U, Pu, Zr)C

1989

5 E393. Термопроводность твердых растворов (U, Pu, Zr)C, близких к stoichiometрическому составу. Thermal conductivity of near-stoichiometric (U, Pu, Zr)C solid solutions / Arai Yasuo, Ohmichi Toshihiko, Fukushima Susumu, Handa Muneo // J. Nucl. Mater.—1989.—168, № 1—2.—С. 137—143.—Англ.

Измерена термопроводность (ТП) твердых растворов (U, Pu, Zr)C, близких к stoichiometrich. составу, содержащих Zr до 10% моль в диапазоне т-р 680—1600 К методом лазерной вспышки. ТП монотонно увеличивается при повышении т-ры и уменьшается с увеличением конц-ии ZrC. Электросопротивление линейно увеличивается при повышении т-ры, а также при повышении конц-ии ZrC. Вклад электронной части ТП рассчитан с помощью закона Видемана—Франца—Лоренца. Расчеты показывают, что электронный вклад в общую ТП является преобладающим. Уменьшение

термопро-
водность

ф. 1990, N5.

ТП $(U, Pu, Zr)C$ по сравнению с $(U, Pu)C$ связано
с уменьшением электронной части теплопроводности.

В. В. К.

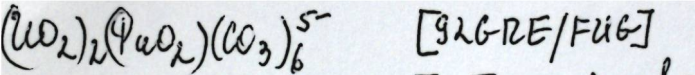
Теплопровод-
ность
 $(U, Pu)C$

1990

6 E287. Теплопроводность $(U, Pu)C$, содержащего до 10 молярных % MoC. Thermal conductivities of $(U, Pu)C$ containing MoC up to 10-mol% / Arai Yasuo, Ohmichi Toshihiko, Fukushima Susumu, Handa Muneo // J. Nucl. Mater.— 1990.— 170, № 1.— С. 50—56.— Англ.

Методом лазерной вспышки в интервале т-р от 680 до 1600 К измерена теплопроводность $(U, Pu)C$, содержащего до 10 мол.% MoC. С помощью рентгеновского анализа показано, что предел растворимости MoC равен 3.5%. До этой конц-ни теплопроводность уменьшается, а затем почти не меняется. С помощью результатов измерения электропроводности проанализирован электронный вклад в теплопроводность и показано, что ее уменьшение связано главным образом с уменьшением электронной части. Библ. 24. В. Оскотский

9б 1991, N 6



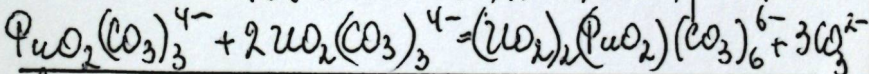
[GRE/FUG]

1992.

Orentche I., Fuger J., et al.

Chemical Thermodynamics of Uranium.

Amsterdam et al, NEA, 1992, p. 51.



$$\lg_{10} K^\circ = -8,800 \pm 0,200$$

$$\Delta_r G_{298}^\circ = 50,231 \pm 1,142 \text{ kJ mol}^{-1}$$